

TRASFORMATA DISCRETA DI FOURIER (DFT)

TRASFORMATA DISCRETA DI FOURIER (DFT)

Definita per sequenze periodiche (o finite)

N periodo (o durata) di $x(n)$, $n = 0, 1, \dots, N-1$

$$DFT : X(k) = \sum_{n=0}^{N-1} x(n) e^{-j2\pi nk/N} \quad k = 0, 1, \dots, N-1$$

$$= \sum_{n=0}^{N-1} x(n) W_N^{nk} \quad (W_N = e^{-j2\pi/N})$$

$$IDFT : x(n) = \frac{1}{N} \sum_{k=0}^{N-1} X(k) W_N^{-nk}$$

$X(k)$ e $x(n)$ sono due sequenze (generalmente complesse) periodiche di periodo N

$$X(k) = X(k + pN)$$

$$x(n) = x(n + pN)$$

p intero qualsiasi

Valori significativi: $0 \leq n \leq N-1$

$$0 \leq k \leq N-1$$

**Se $x(n)$ è una sequenza di durata finita $\leq N$
essa va considerata come un periodo di una
sequenza periodica**

$$\tilde{x}(n) = \sum_m x(n + mN)$$

■ Relazione utile

$$\frac{1}{N} \sum_{n=0}^{N-1} e^{\pm j \frac{2\pi}{N} np} = 1, \quad p = mN \quad m \text{ intero}$$
$$= 0, \quad \text{altrimenti}$$

Dimostrazione IDFT

$$x(n) = \frac{1}{N} \sum_{k=0}^{N-1} X(k) e^{j \frac{2\pi}{N} nk}$$

**moltiplicando entrambi i membri per $e^{-j \frac{2\pi}{N} nr}$
e, sommando da $n=0$ a $N-1$, si ha**

$$\sum_{n=0}^{N-1} x(n) e^{-j \frac{2\pi}{N} nr} = \frac{1}{N} \sum_{n=0}^{N-1} \sum_{k=0}^{N-1} X(k) e^{j \frac{2\pi}{N} n(k-r)}$$

Scambiando l'ordine della sommatoria

$$\sum_{n=0}^{N-1} x(n) e^{-j\frac{2\pi}{N}nr} = \sum_{k=0}^{N-1} X(k) \frac{1}{N} \sum_{n=0}^{N-1} e^{j\frac{2\pi}{N}n(k-r)}$$

ed essendo

$$\frac{1}{N} \sum_{n=0}^{N-1} e^{j\frac{2\pi}{N}n(k-r)} = \begin{cases} 1, & \text{per } k = r \\ 0, & \text{altrimenti} \end{cases}$$

si ha

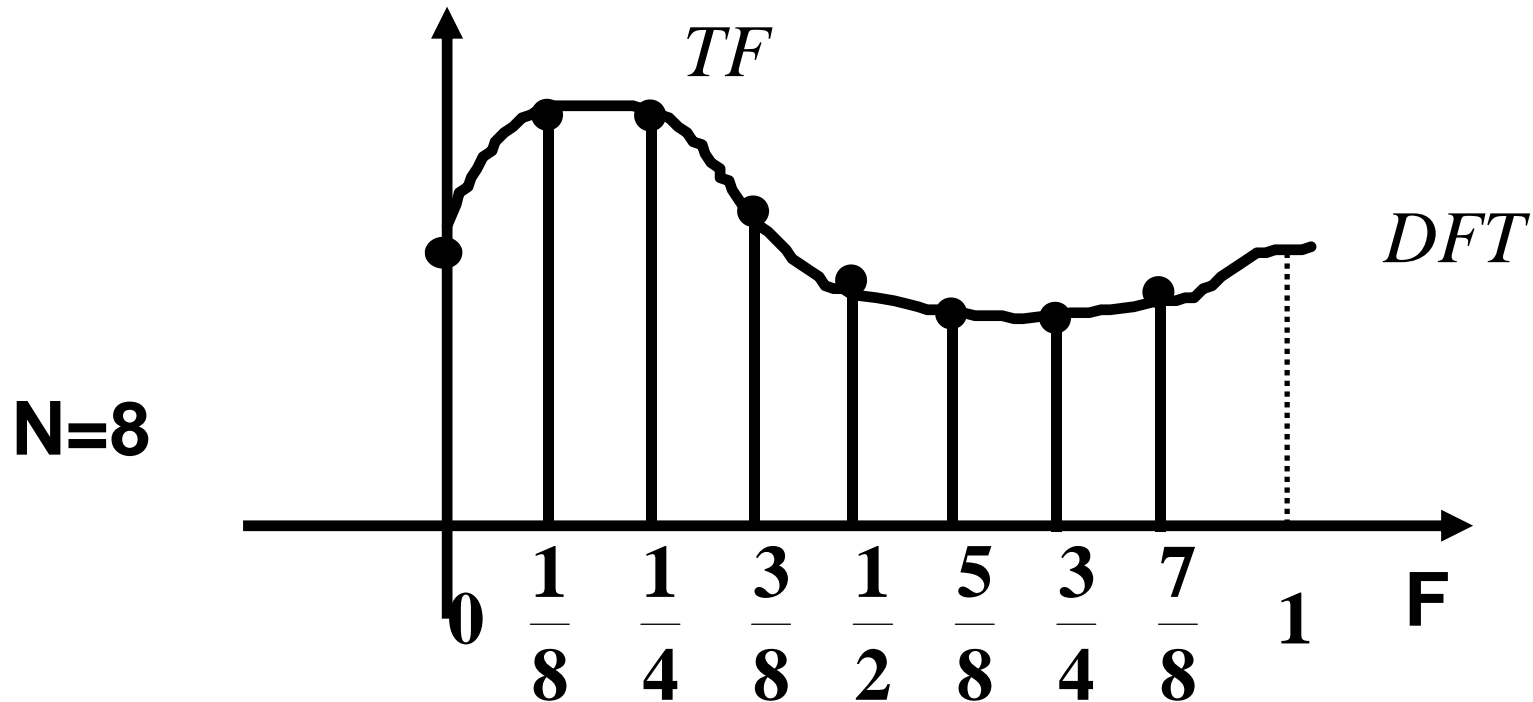
$$X(k) = \sum_{n=0}^{N-1} x(n) e^{-j\frac{2\pi}{N}nk} \quad \text{periodica con periodo } N$$

Nota

Per semplicità di notazione continuiamo ad usare lo stesso simbolo X per denotare la trasformata discreta di Fourier $X(k)$, la trasformata di Fourier $X(F)$ e la trasformata-z $X(z)$ di una stessa sequenza $x(n)$ [nel caso ovviamente esistano]. Esse sono distinte senza ambiguità dal tipo del loro argomento:

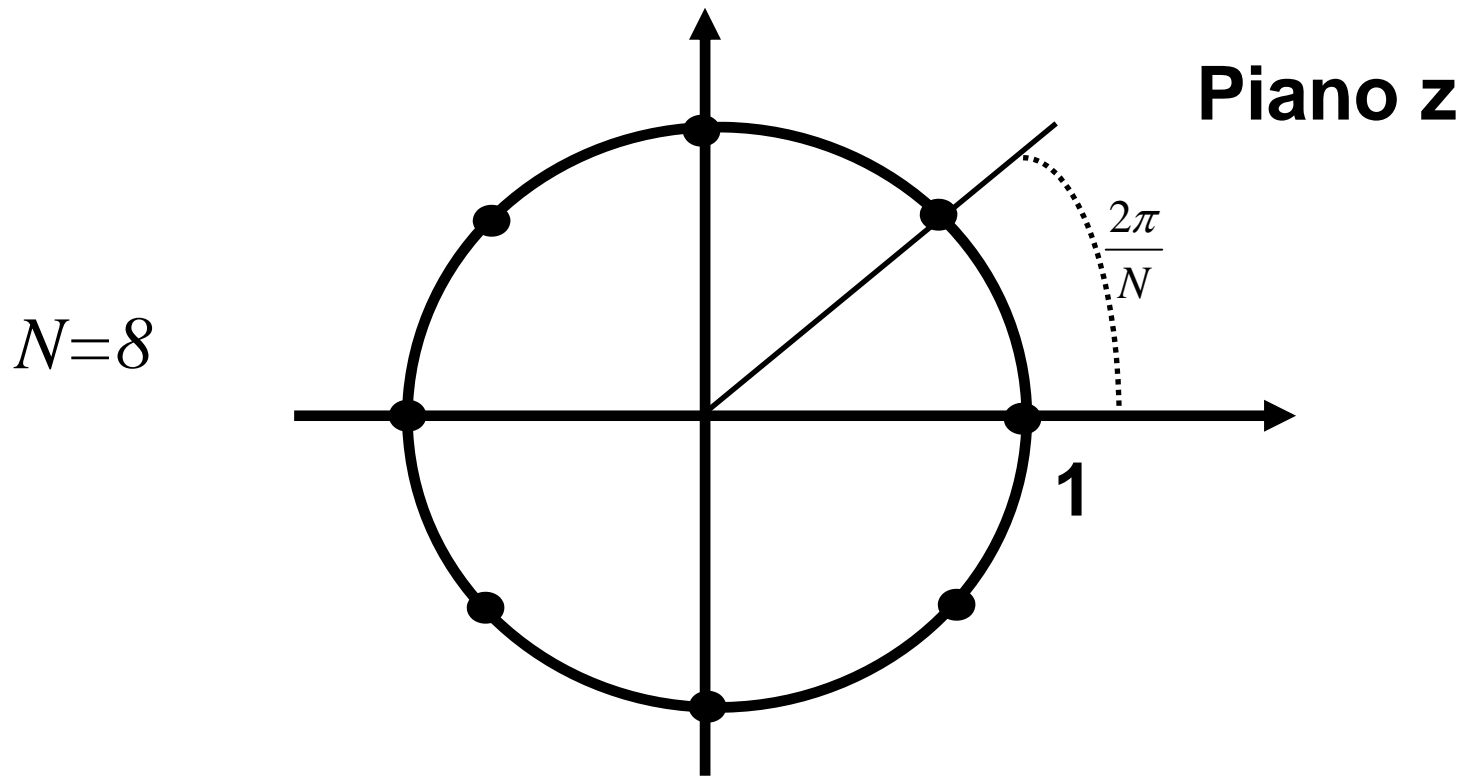
<i>Intero</i>	k	\longleftrightarrow	<i>DFT</i>
<i>Reale</i>	F	\longleftrightarrow	<i>TF</i>
<i>Complesso</i>	z	\longleftrightarrow	<i>TZ</i>

RELAZIONE DELLA *DFT* CON LE *TF* E *TZ* PER SEQUENZE FINITE



La *DFT* è la *TF* calcolata per N frequenze equispaziate di $\Delta f = f_c/N$ ovvero $\Delta F = 1/N$

$$X(k) = X(F) \Big|_{F = \frac{k}{N}}$$



È la TZ calcolata in N punti equispaziati sulla circonferenza unitaria

$$X(k) = X(z) \Big|_{z = e^{j\frac{2\pi}{N}k}}$$

- Per sequenze finite (di durata N campioni) è possibile ottenere $X(z)$ a partire da $X(k)$

$$X(z) = \frac{1-z^{-N}}{N} \sum_{k=0}^{N-1} \frac{X(k)}{1-e^{j\frac{2\pi}{N}k} z^{-1}}$$

Dimostrazione:

$$X(z) = \sum_{n=0}^{N-1} x(n) z^{-n} =$$

$$= \sum_{n=0}^{N-1} \frac{1}{N} \sum_{k=0}^{N-1} X(k) e^{j\frac{2\pi}{N}kn} z^{-n}$$

$$= \frac{1}{N} \sum_{k=0}^{N-1} X(k) \sum_{n=0}^{N-1} \left(e^{j\frac{2\pi}{N}k} z^{-1} \right)^n =$$

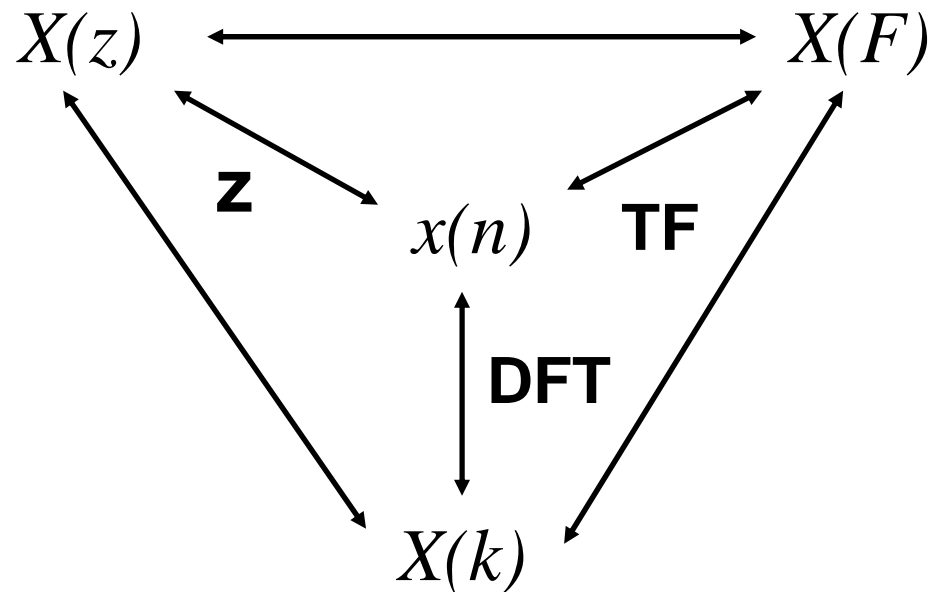
$$\begin{aligned}
&= \frac{1}{N} \sum_{k=0}^{N-1} X(k) \frac{1 - e^{j\frac{2\pi}{N}kN} z^{-N}}{1 - e^{j\frac{2\pi}{N}k} z^{-1}} = \\
&= \frac{1 - z^{-N}}{N} \sum_{k=0}^{N-1} \frac{X(k)}{1 - e^{j\frac{2\pi}{N}k} z^{-1}}
\end{aligned}$$

▪ **Esprime $X(z)$ di una sequenza finita di durata N campioni, in funzione di N campioni equidistanti di $X(z)$ presi sul cerchio unitario (N campioni in frequenza spazati di $\frac{1}{NT} = \frac{f_c}{N}$)**

- Per sequenze finite (di durata N campioni) è possibile ottenere $X(F)$ a partire da $X(k)$

$$X(F) = \frac{1 - e^{-j2\pi FN}}{N} \sum_{k=0}^{N-1} \frac{X(k)}{1 - e^{j\frac{2\pi}{N}k} e^{-j2\pi F}}$$

- Per sequenze finite (di durata N campioni)



- **Data la TZ $X(z)$ di una sequenza $x(n)$,
il campionamento di $X(z)$ sulla circonferenza
unitaria in N punti equispaziati**

$$X(k) = X(z) \Big|_{z = e^{j\frac{2\pi}{N}k}}$$

corrisponde alla DFT della sequenza:

$$x'(n) = \sum_{r=-\infty}^{+\infty} x(n + rN)$$

Dimostrazione:

- **La DFT inversa**
$$x'(n) = \frac{1}{N} \sum_{k=0}^{N-1} X(k) e^{j \frac{2\pi}{N} kn}$$

Sostituendo
$$X(k) = \sum_{r=-\infty}^{\infty} x(r) e^{-j \frac{2\pi}{N} kr}$$

invertendo le sommatorie e tenendo conto delle proprietà degli esponenziali, si ottiene

$$x'(n) = \sum_{r=-\infty}^{+\infty} x(n + rN)$$



Osservazione: $x'(n) = x(n) \quad 0 \leq n \leq N - 1$

solo se $x(n)$ è di durata finita $\leq N$

■ Esempio di applicazione

Calcolo della antitrasformata-z di una $X(z)$ (supponendo che $x(n) \rightarrow 0$ per $n \rightarrow \infty$).

Si determina la $X(k)$ per valori crescenti di N fino a verificare che la $IDFT$ dia valori trascurabili (inferiori ad una prefissata soglia) per i valori $n \geq N_0$

Si possono determinare numericamente (e con buona approssimazione) i campioni della sequenza $x(n)$, che ha per trasformata-z $X(z)$, e la sua durata N_0 . (Es. applicaz.: Teoria delle code)

Principali proprietà della DFT

● Linearità

$$\text{Se } x(n) \Leftrightarrow X(k) \text{ e } y(n) \Leftrightarrow Y(k)$$

$$ax(n) + by(n) \Leftrightarrow aX(k) + bY(k)$$

a, b **costanti reali o complesse**

● Inversione temporale

$$x(-n) = x(N - n) \Leftrightarrow X(-k) = X(N - k)$$

● Complesso coniugato

$$x^*(n) \Leftrightarrow X^*(N - k)$$

● Inversione temporale e complesso coniugato

$$x^*(N-n) \Leftrightarrow X^*(k)$$

● Simmetrie per sequenze reali

- $x(n)$ **reale**

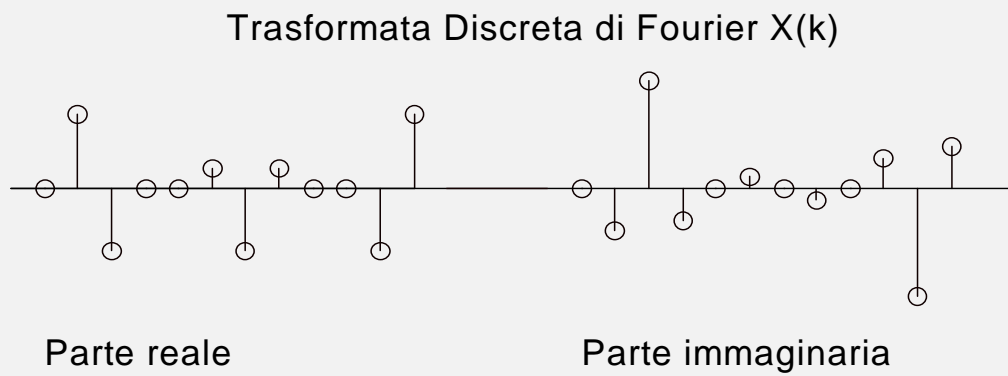
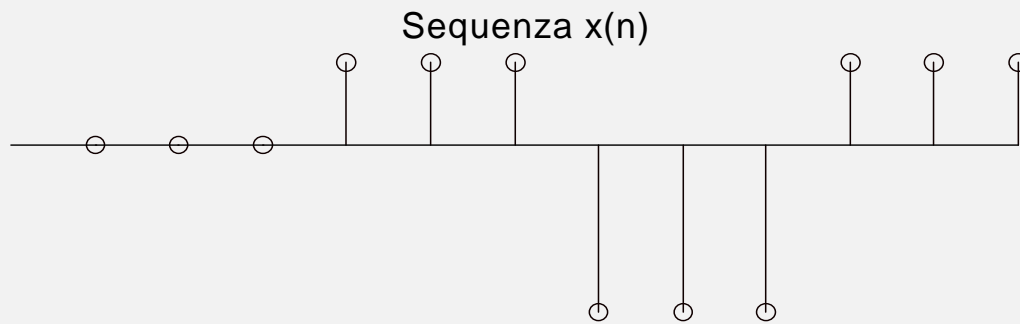
$$X(N-k) = X^*(k)$$

- $x(n)$ **reale e pari** : $x(N-n) = x(n)$

$$X(k) \text{ **reale e pari** : } X(N-k) = X(k)$$

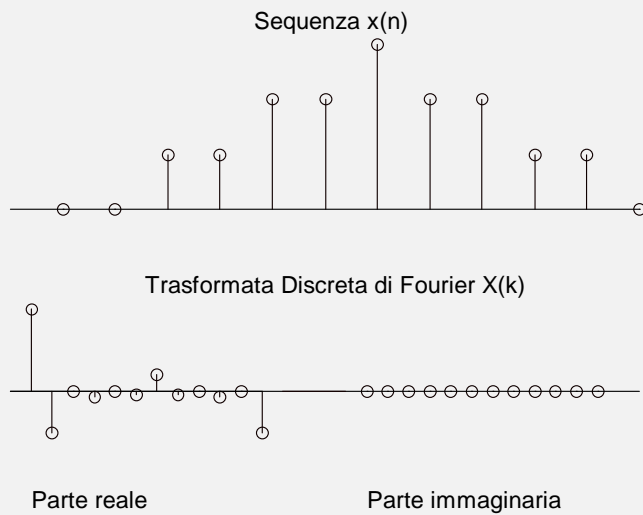
- $x(n)$ **reale e dispari** : $x(N-n) = -x(n)$

$$X(k) \text{ **immaginaria e dispari** : } X(N-k) = -X(k)$$

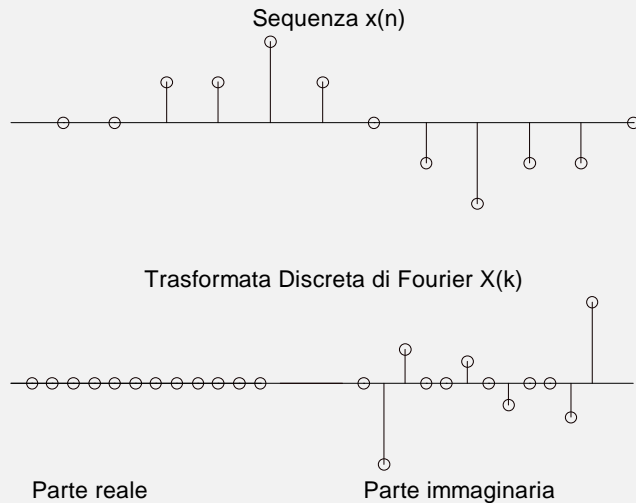


Proprietà della DFT [$x(n)$ reale]

Se $x(n)$ è una sequenza reale: $X(N - k) = X^*(k)$



Proprietà della DFT sequenza
 $[x(n)]$ reale e pari]
 Se $x(n)$ è una reale e pari
 $X(k)$ è reale e pari.



Proprietà della DFT
 $[x(n)]$ reale e dispari]
 Se $x(n)$ è una sequenza reale e dispari
 $X(k)$ è immaginaria pura e dispari.

■ Teorema di Parseval

$$\sum_{n=0}^{N-1} |x(n)|^2 = \frac{1}{N} \sum_{k=0}^{N-1} |X(k)|^2$$

***Energia di un periodo
della sequenza***

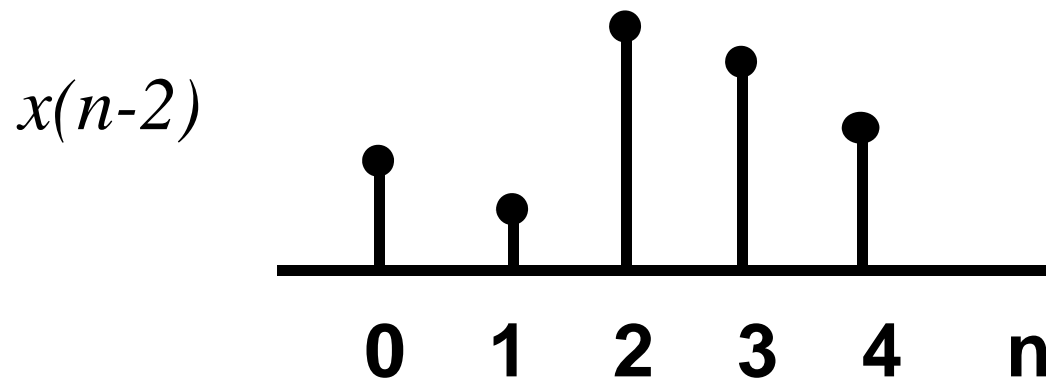
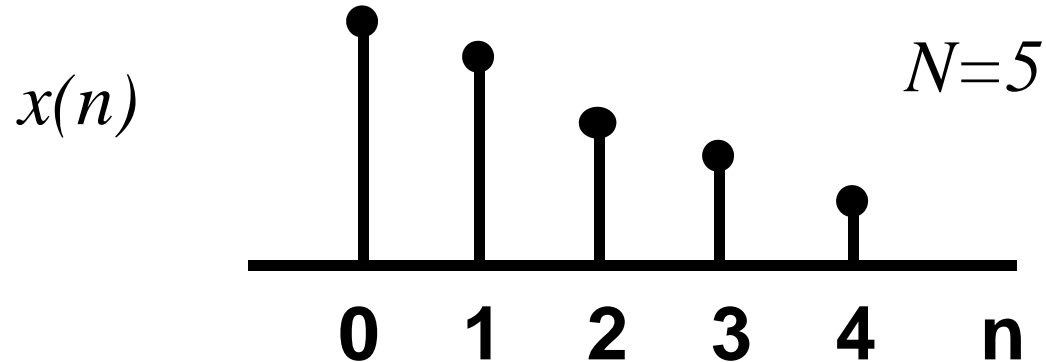
$$\frac{1}{N} \sum_{n=0}^{N-1} |x(n)|^2 = \frac{1}{N^2} \sum_{k=0}^{N-1} |X(k)|^2$$

Potenza della sequenza

Dimostrazione

$$\begin{aligned}\sum_{n=0}^{N-1} |x(n)|^2 &= \sum_{n=0}^{N-1} x(n)x^*(n) = \\&= \sum_{n=0}^{N-1} x(n) \sum_{k=0}^{N-1} \frac{X^*(k)e^{-j\frac{2\pi}{N}kn}}{N} = \\&= \frac{1}{N} \sum_{k=0}^{N-1} X^*(k) \sum_{n=0}^{N-1} x(n)e^{-j\frac{2\pi}{N}kn} = \\&= \frac{1}{N} \sum_{k=0}^{N-1} |X(k)|^2\end{aligned}$$

■ Traslazione circolare



$$x(n-m)_N \Leftrightarrow X(k)e^{-j\frac{2\pi}{N}km}$$

rotazione di fase pari a: $-\frac{2\pi km}{N}$

Analogamente (in modo duale)

$$X(k-l)_N \Leftrightarrow x(n)e^{j\frac{2\pi}{N}nl}$$

modulazione con esponenziale complesso

■ Convoluzione circolare

Proprietà *molto importante* per le implicazioni applicative e realizzative

Definizione

$$y(n) = x_1(n) \otimes x_2(n)$$

$$= \sum_{m=0}^{N-1} x_1(m)x_2(n-m)_N$$

$$\Rightarrow Y(k) = X_1(k)X_2(k)$$

- Il prodotto $X_1(k) X_2(k)$ è la *DFT* di una convoluzione circolare di due sequenze (e *non di una convoluzione tradizionale*, detta per distinzione lineare o aperiodica)

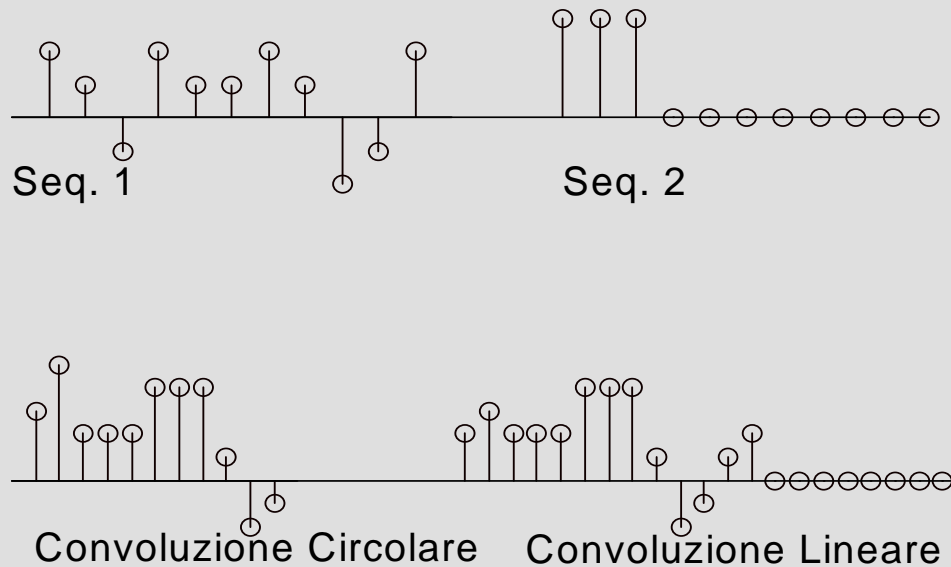
Convoluzione lineare

$$x_l(n) = x_1(n) * x_2(n) = \sum_{m=-\infty}^{\infty} x_1(m)x_2(n-m)$$

Per es. per sequenze di durata N

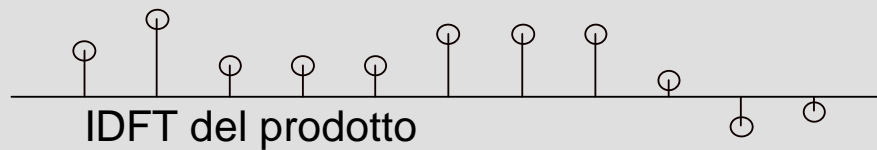
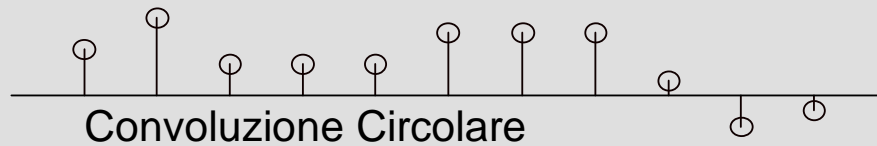
$x_c(n)$ è periodica con periodo N

$x_l(n)$ ha durata pari a $L = 2N-1$



Convoluzione circolare e lineare.

Le sequenze mostrate nella parte inferiore sono il risultato della convoluzione circolare e lineare tra le due sequenze mostrate nella parte superiore.



Confronto nel dominio del tempo

Sopra: il risultato della convoluzione circolare tra due sequenze

Sotto: la trasformata di Fourier inversa del prodotto delle loro DFT

Per poter utilizzare la *DFT* per il calcolo della convoluzione lineare [p.es. $y(n) = x(n) * h(n)$], occorre usare tecniche opportune
[Overlap - add, overlap - save]

Esercizi Proposti

■ Esercizi scritti

(dal testo di riferimento: E. Del Re, “Elementi di elaborazione numerica dei segnali”)

3.1 3.2 3.3 3.4 3.5 3.10 3.12 3.15 3.17 3.18 3.19

Esercitazioni di Laboratorio di MATLAB

(reperibili a: <http://lenst.det.unifi.it/node/379>)

- Prop DFT
- Conv-lin-circ

TRASFORMATA VELOCE DI FOURIER (FFT)

TRASFORMATA VELOCE DI FOURIER (FFT)

La DFT

$$X(k) = \sum_{n=0}^{N-1} x(n) W_N^{nk}, \quad W_N = e^{-j\frac{2\pi}{N}}$$

richiede

N^2 moltiplicazioni complesse
[$4 N^2$ m. reali + $2 N^2$ s. reali]

$N(N-1)$ somme complesse [$2N(N-1)$ s. reali]

■ Algoritmi FFT

- ⇒ ***Radice - 2 decimazione nel tempo***
- ⇒ ***Radice - 2 decimazione in frequenza***
- ⇒ ***Estensioni di questi algoritmi base***

■ FFT RADICE- 2 DECIMAZIONE NEL TEMPO

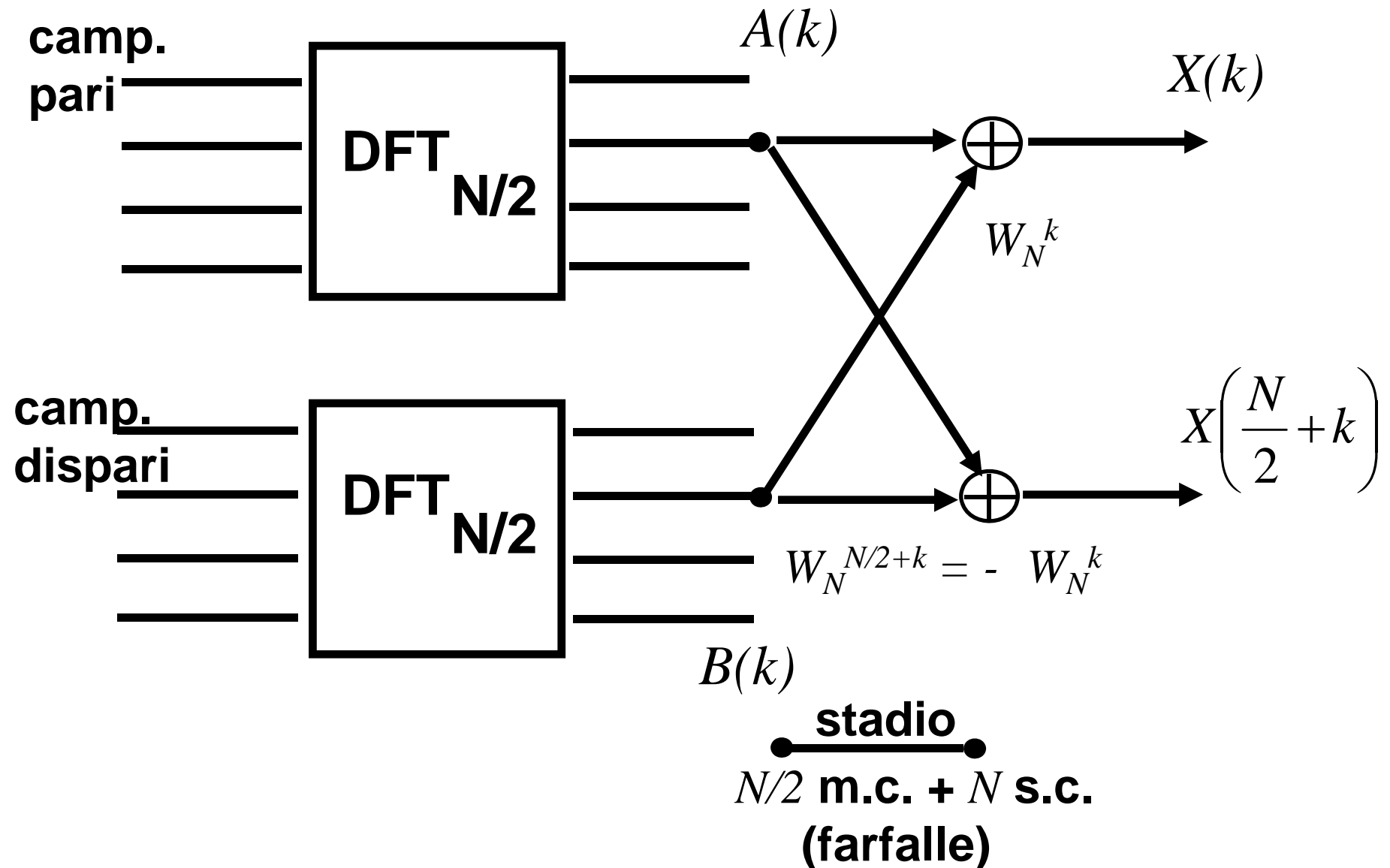
$$N = 2^v$$

$$X(k) = \sum_{n \text{ pari}} x(n) W_N^{nk} + \sum_{n \text{ dispari}} x(n) W_N^{nk}$$

$$= \sum_{p=0}^{\frac{N}{2}-1} x(2p) W_N^{2pk} + W_N^k \sum_{p=0}^{\frac{N}{2}-1} x(2p+1) W_N^{2pk}$$

$$\begin{aligned}
 (W_N^2 = W_{N/2}) &= \\
 &= \sum_{p=0}^{\frac{N}{2}-1} x(2p) W_{N/2}^{pk} + W_N^k \sum_{p=0}^{\frac{N}{2}-1} x(2p+1) W_{N/2}^{pk} \\
 &= A(k) + W_N^k B(k)
 \end{aligned}$$

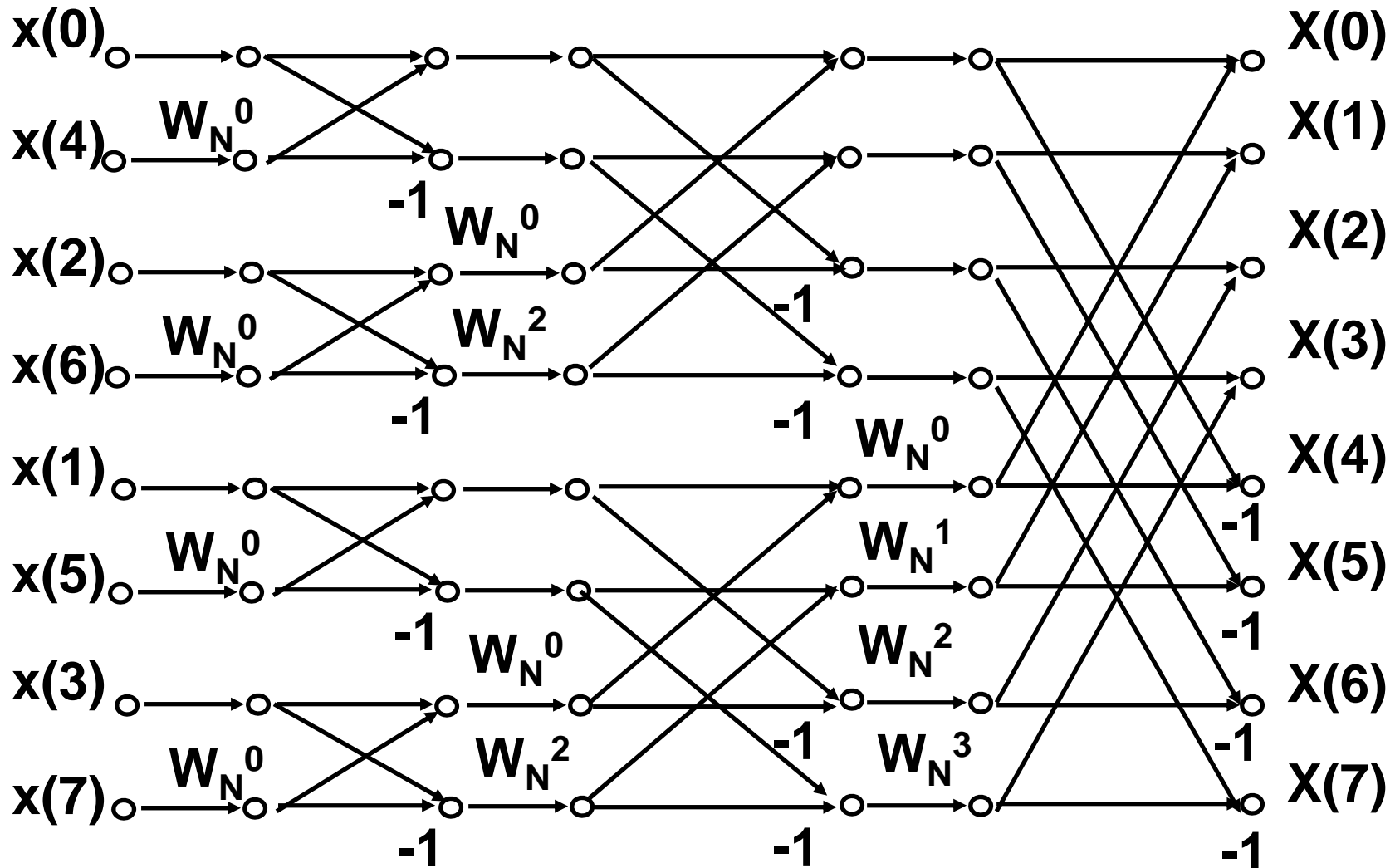
■ $A(k)$, $B(k)$ sono $DFT_{N/2}$



- **Il procedimento può essere iterato fino ad arrivare a DFT_2 .**
- **Il numero di stadi : $v = \log_2 N$**

Esempio: $N = 8$

Grafo



■ Complessità finale

$\frac{N}{2} \log_2 N$ ***moltiplicazioni complesse***

$\left[\frac{N}{2} \log_2 \frac{N}{2} \right.$ ***m.c. eliminando le moltiplicazioni del***
primo stadio $\left. \right]$

$N \log_2 N$ ***somme complesse***

Ingressi: bit-reversed order (ordine a bit invertiti)

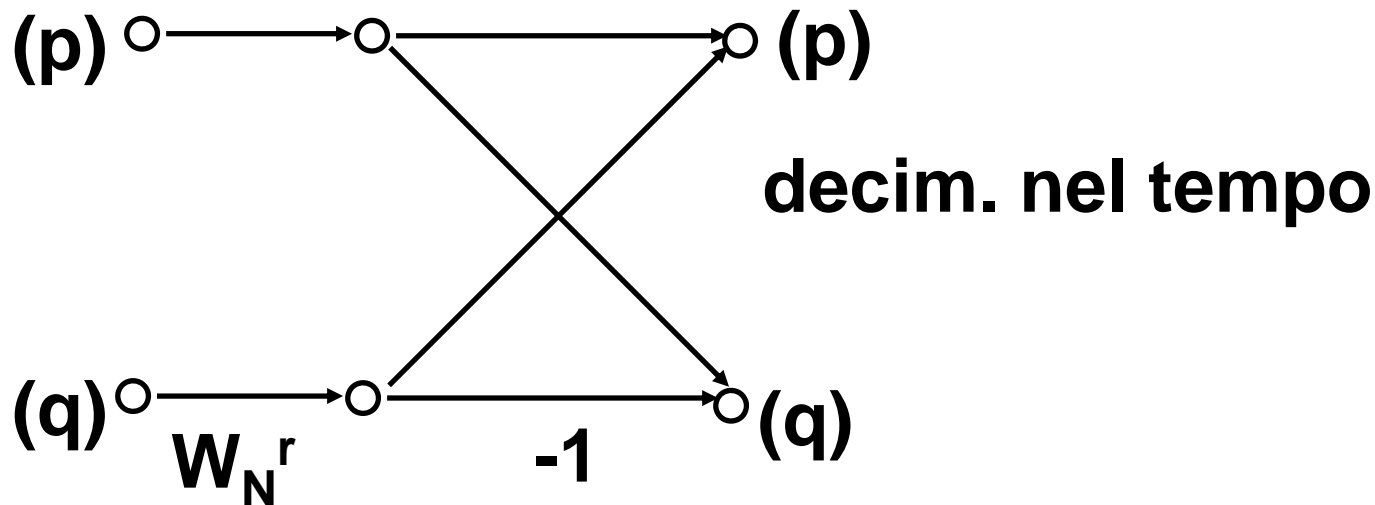
Gli ingressi non sono in sequenza. Devono essere ordinati come nell'esempio ($N = 8$):

Posizione	Campione
0 = 000	$x(0) = x(000)$
1 = 001	$x(4) = x(100)$
2 = 010	$x(2) = x(010)$
3 = 011	$x(6) = x(110)$
4 = 100	$x(1) = x(001)$
5 = 101	$x(5) = x(101)$
6 = 110	$x(3) = x(011)$
7 = 111	$x(7) = x(111)$

■ Calcolo “in-place”

Gli ingressi e le uscite di ogni “farfalla” stanno sulla stessa linea orizzontale.

Bastano N locazioni di memoria (complesse), perché a coppie subiscono una trasformazione e il risultato può essere rimemorizzato nelle stesse locazioni degli ingressi.



DFT**FFT**

N	m.c.	s.c.	m.c.	s.c.
32	1024	992	80	160
1024	1048576	1047552	5120	10240

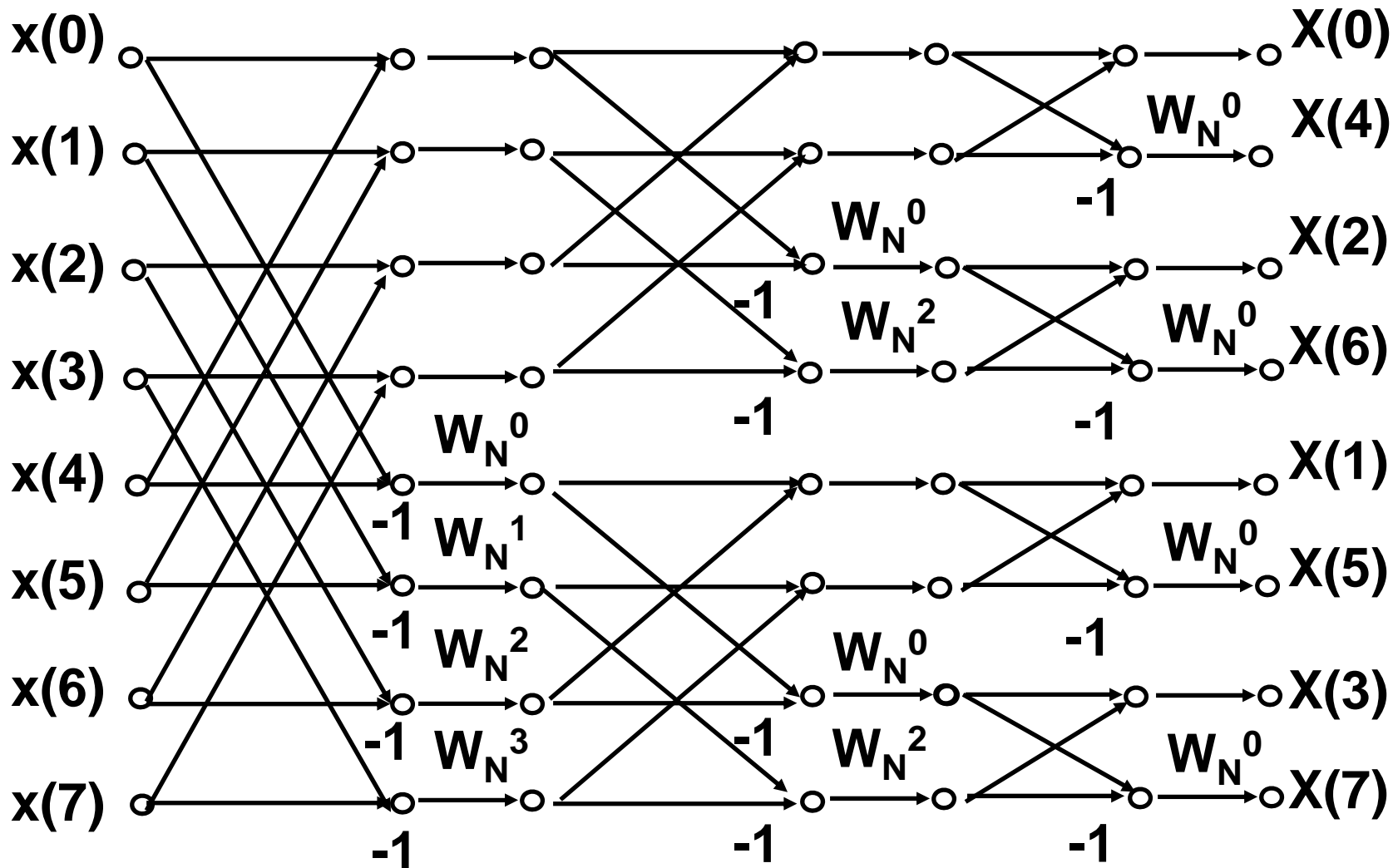
FFT RADICE - 2 DECIMAZIONE IN FREQUENZA

$$N = 2^v$$

- **Algoritmo duale**
- **Scompone la sequenza di uscita $X(k)$ in due termini, il primo relativo alla prima metà ($k=0, \dots, N/2 - 1$), il secondo relativo alla seconda metà ($k=N/2, \dots, N-1$)**

Grafo

$N=8$



- Uscite: bit-reversed order
- Calcolo: "in place".

■ Complessità finale

$\frac{N}{2} \log_2 N$ ***moltiplicazioni complesse***

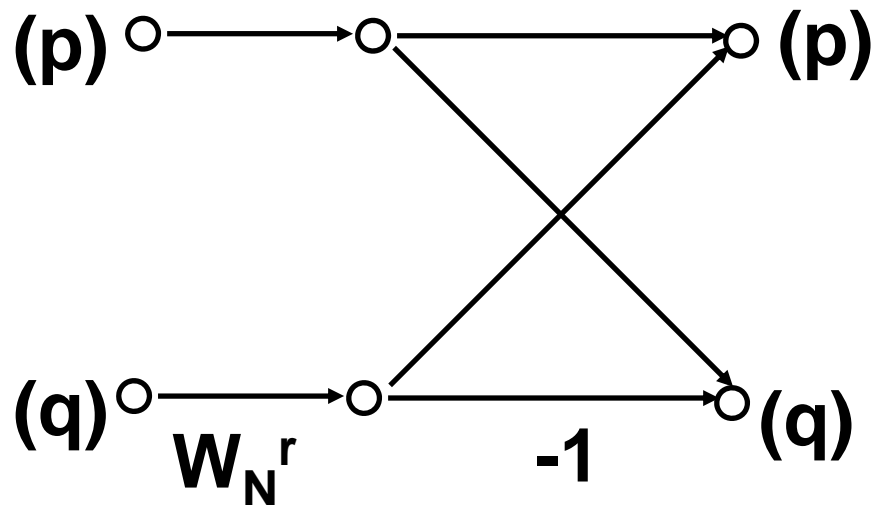
$\left[\frac{N}{2} \log_2 \frac{N}{2} \right.$ ***m.c. eliminando le moltiplicazioni del***
primo stadio ***]***

$N \log_2 N$ ***somme complesse***

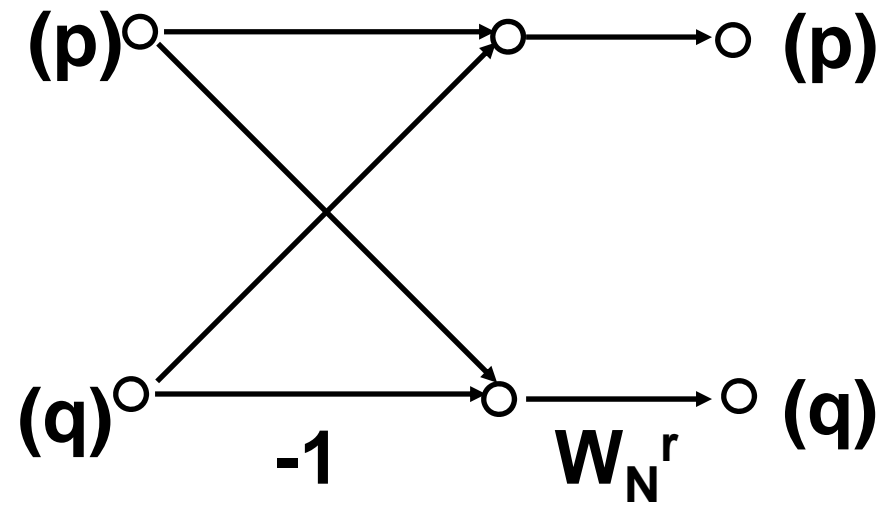
■ Relazione fra i due algoritmi FFT radice-2

Struttura delle farfalle

decim. nel tempo



decim. in frequenza



Sono scambiati ingressi e uscite e invertito il senso del flusso dei segnali.

Ciascuna delle due strutture può essere ottenuta dall'altra applicando queste regole (*regole di trasposizione di grafi lineari*):

- scambiare ingressi e uscite**
- invertire il flusso dei segnali**
- scambiare i punti di diramazione e i punti di somma**

FFT: VARIAZIONI ED ESTENSIONI

- **Si possono modificare i grafi in modo che ingressi e uscite siano nell'ordine naturale (crescente).
Si perde la proprietà di calcolo “in place”.**

- **Algoritmi radice- 4 ($N = 4^v$)**

$$\sim N \log_4 N \quad \textbf{\textit{m. c.}}$$

$$\sim 2N \log_4 N \quad \textbf{\textit{s. c.}}$$

- **Altri algoritmi**

Winograd (fattori primi)

Mixed-radix (radice diversa per ogni stadio)

Split-radix (mescolanza di radice-2 e radice-4).

FFT: CONSIDERAZIONI FINALI

- **La $IDFT_N$**

$$x(n) = \frac{1}{N} \sum_{k=0}^{N-1} X(k) W_N^{-nk}$$

**può essere calcolata (a meno del fattore $1/N$)
da un algoritmo FFT sul quale si operi la
sostituzione**

$$\begin{array}{ccc} W_N & \rightarrow & W_N^{-1} \\ (FFT) & & (IFFT) \end{array}$$

La divisione per il fattore N può essere eseguita mediante divisione per un fattore 2 ad ogni stadio.

➤ In pratica per il calcolo della DFT conviene sempre impiegare un algoritmo di FFT , a meno che non interessino pochi punti della DFT .

Esercitazioni di Laboratorio di MATLAB

(reperibili a: <http://lenst.det.unifi.it/node/379>)

- **Confronto DFT-FFT**

APPLICAZIONI DELLA DFT

APPLICAZIONI DELLA DFT

Sono numerosissime. Qui vedremo alcune delle più importanti e significative:

- Stime spettrali**
- Convoluzione di sequenze**
- Correlazione di sequenze**

STIME SPETTRALI

- **Operazione di filtraggio della *DFT***

$x(n)$ sequenza di durata molto lunga

La sua DFT_N (a N punti), per esempio sui primi N campioni,

$$\begin{aligned} X(k) &= \sum_{n=0}^{N-1} x(n) W_N^{kn} = \\ &= \sum_{n=-\infty}^{+\infty} x(n) w(n) e^{-j2\pi F n} \Big|_{F=\frac{k}{N}} \end{aligned}$$

con $w(n) = \begin{cases} 1 & 0 \leq n \leq N-1 \\ 0 & \text{altrove} \end{cases}$ **(finestra rettangolare)**

che ha come TF

$$W(F) = \frac{1 - e^{-j2\pi FN}}{1 - e^{-j2\pi F}} = e^{-j\pi F(N-1)} \frac{\text{sen}(\pi FN)}{\text{sen}(\pi F)}$$

con $F = fT = f / f_c$ frequenza normalizzata

$\Rightarrow X(k)$ è la TF

calcolata alle frequenze normalizzate $\frac{k}{N}$

(ovvero alle frequenze $\frac{k}{NT} = \frac{k}{N} f_c$)

della sequenza

$x'(n) = x(n) w(n),$ **il cui spettro è**

$$X'(F) = X(F) * W(F) = \int_{-\frac{1}{2}}^{\frac{1}{2}} X(a) W(F - a) da$$

in definitiva:

$$X(k) = X'(F) \Big|_{F = \frac{k}{N}}$$

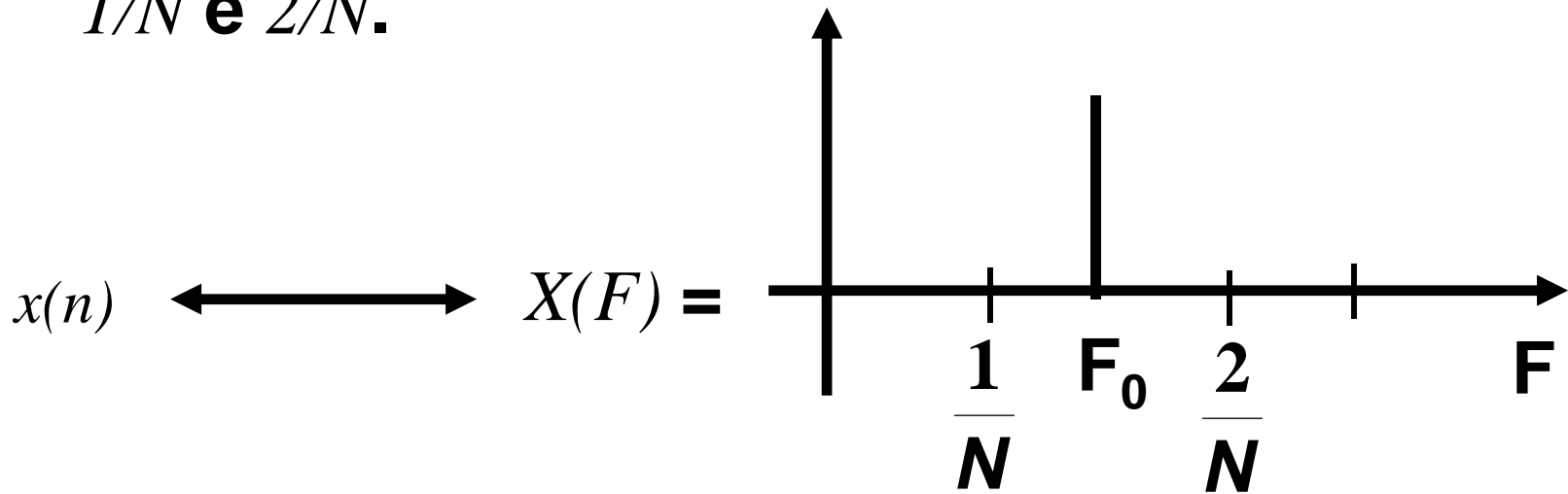
ovvero il coefficiente k -esimo della DFT è il valore mediato dello spettro $X(F)$ di $x(n)$ pesato dalla funzione $W(F)$ centrata sulla frequenza normalizzata k/N .



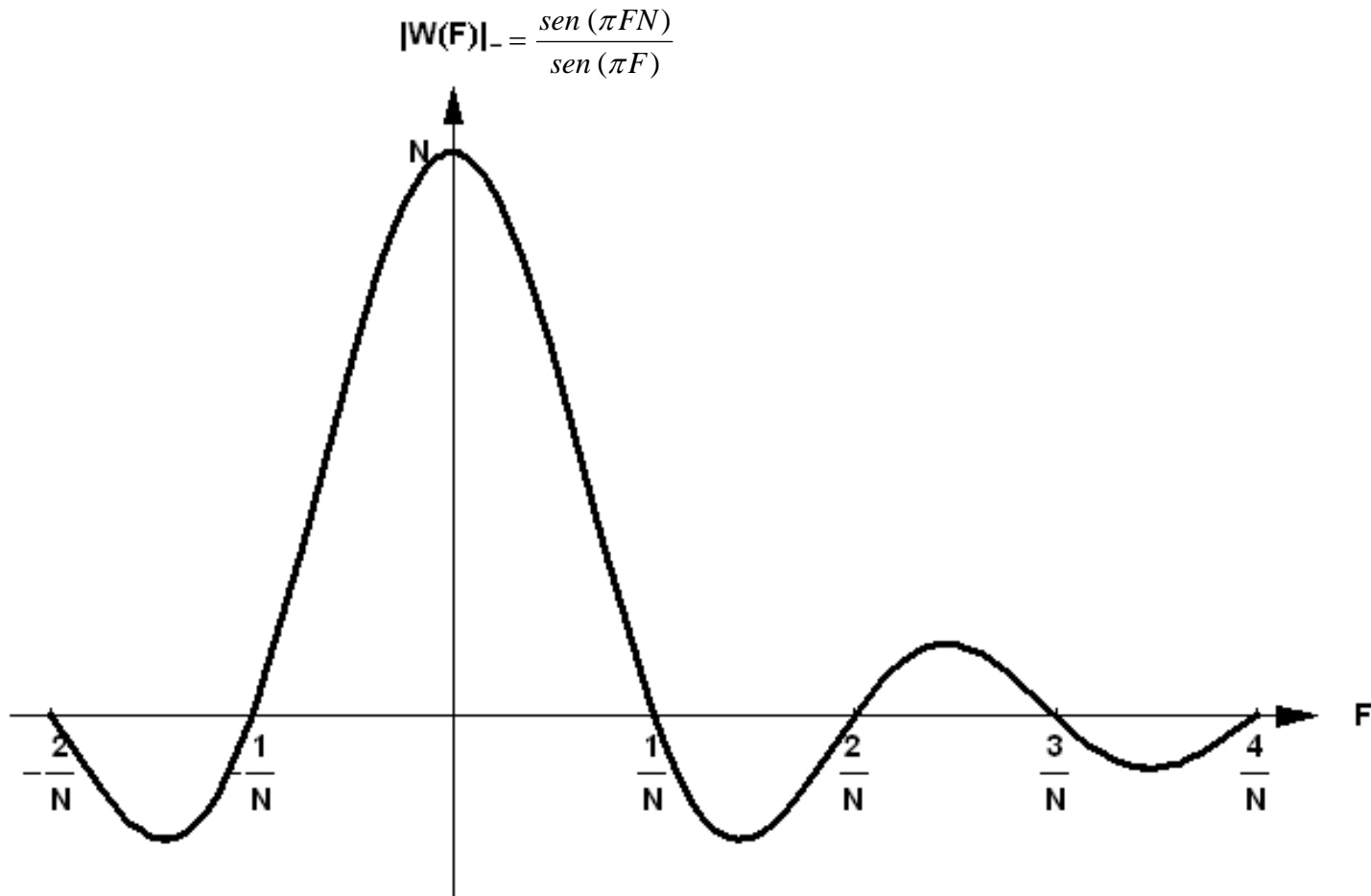
Non necessariamente la DFT coincide con i valori desiderati di $X(F)$ alle frequenze k/N .

■ Esempio illustrativo

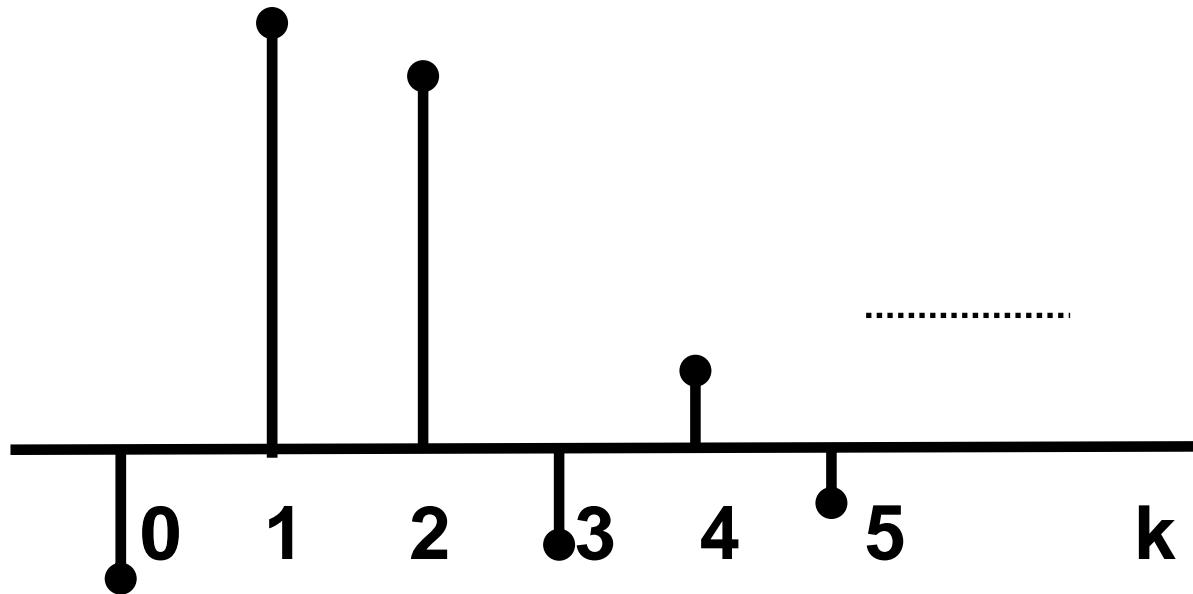
$x(n)$ sia un esponenziale complesso (riga) ad una frequenza normalizzata F_0 intermedia fra $1/N$ e $2/N$.



considerato che:



si ottiene per $X(k)$



**Compaiono righe spettrali per tutti i valori di k .
(Nell'esempio per semplicità sono stati assunti
valori reali invece che complessi per illustrare
il meccanismo di generazione della DFT)**



[Esiste una condizione per la quale nella DFT ci sono tutte e sole le componenti presenti nel segnale di ingresso?]

La DFT effettua una operazione di modifica, con il filtro $W(F)$, sullo spettro del segnale di ingresso

Si può cambiare l'effetto di filtraggio cambiando $W(F)$ e quindi $w(n)$

Per esempio:

$$w(n) = \frac{1}{2} \left(1 - \cos \frac{2\pi n}{N-1} \right) \quad \textbf{(Hanning)}$$

$$w(n) = 0.54 - 0.46 \cos \frac{2\pi n}{N-1} \quad \textbf{(Hamming)}$$

$$0 \leq n \leq N - 1$$

(e molte altre) che hanno lobi laterali più piccoli)

● Risoluzione algoritmica e risoluzione spettrale

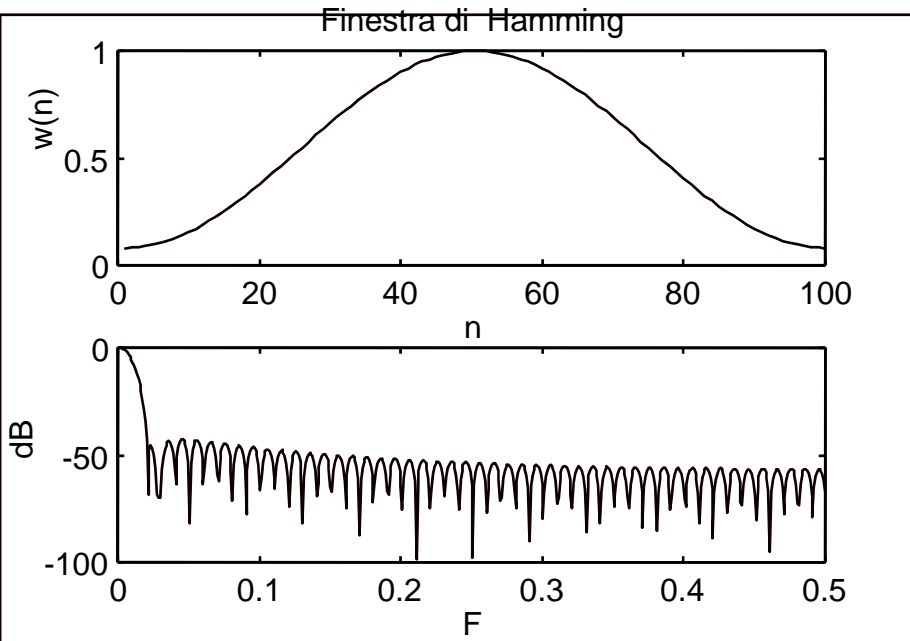
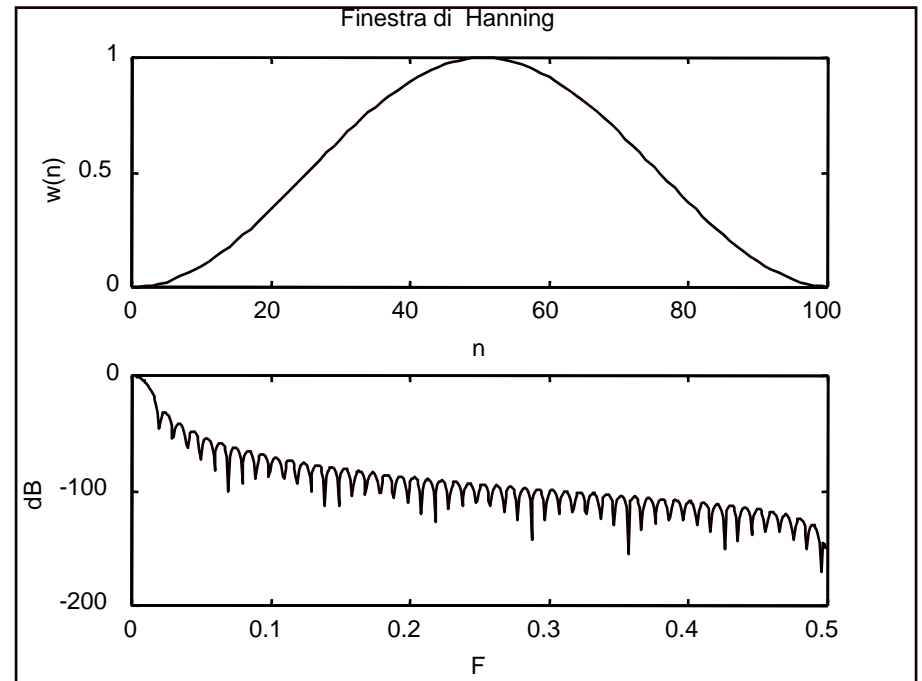
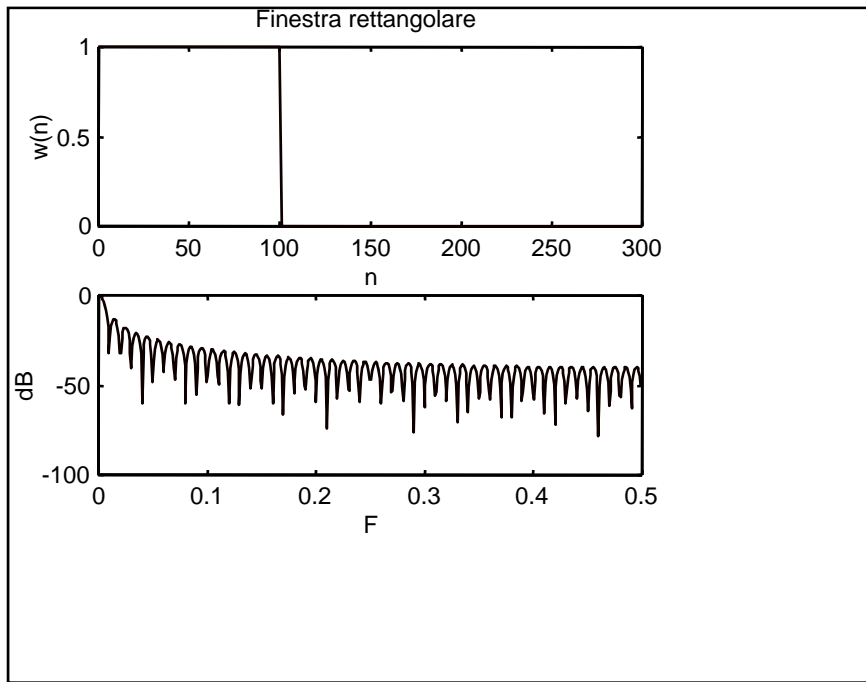
➤ Risoluzione algoritmica

Valori spazati di $\Delta F = \frac{1}{N}$

ovvero $\Delta f = \frac{f_c}{N} = \frac{1}{NT}$

Tuttavia:

La risoluzione spettrale dipende dall'ampiezza del lobo principale della finestra; generalmente la si assume uguale all'ampiezza del lobo principale.



Caratteristiche temporali e spettrali
delle finestre:

- Rettangolare
- di Hanning
- di Hamming

Finestra	Risoluzione spettrale (ΔF)	Picco lobo laterale (dB)
Rettangolare	$2/N$	- 13
Hanning	$4/N$	- 31
Hamming	$4/N$	- 41

■ Stime spettrali (Periodogramma)

È uno dei metodi di stima spettrale. Impiega la DFT (FFT). $x(n)$ sequenza molto lunga (L)

Algoritmo

- **si suddivide $x(n)$ in $M = L/N$ blocchi di N campioni**

$$x_i(n) = x(n + iN), \quad 0 \leq n \leq N-1, 0 \leq i \leq M-1$$

- **Si forma**

$$x_i'(n) = x_i(n) w(n), \quad w(n) \text{ opportuna finestra}$$

- **Si calcola**

$$X_i'(k) = DFT_N [x_i'(n)]$$

$$A_i(k) = \frac{1}{NW} |X_i'(k)|^2$$

con
$$W = \frac{1}{N} \sum_{n=0}^{N-1} w^2(n), \quad \text{potenza della finestra}$$

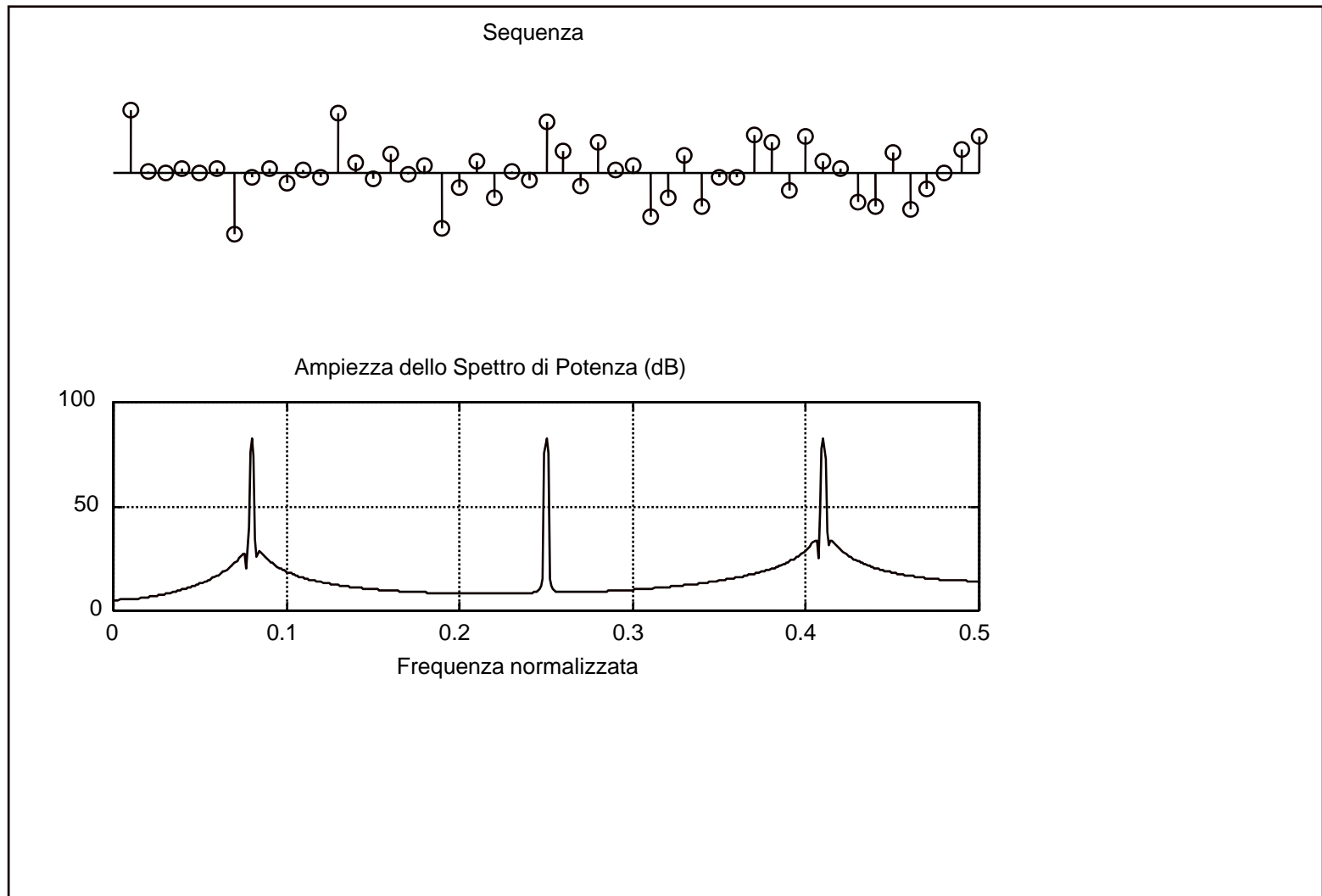
- **Si calcola la media**

$$P_x(k) = \frac{1}{M} \sum_{i=0}^{M-1} A_i(k)$$

Il valore $P_x(k)$ è la stima dello spettro di potenza del segnale $x(n)$ alla frequenza $F = k/N$ ovvero $f = f_c k/N$.

Il fattore $1/NW$ è introdotto per avere una stima non polarizzata (per $N \rightarrow \infty$)

Modifica possibile: i blocchi $x_i(n)$ possono essere anche parzialmente sovrapposti (in genere di $N/2$) per migliorare le stime.

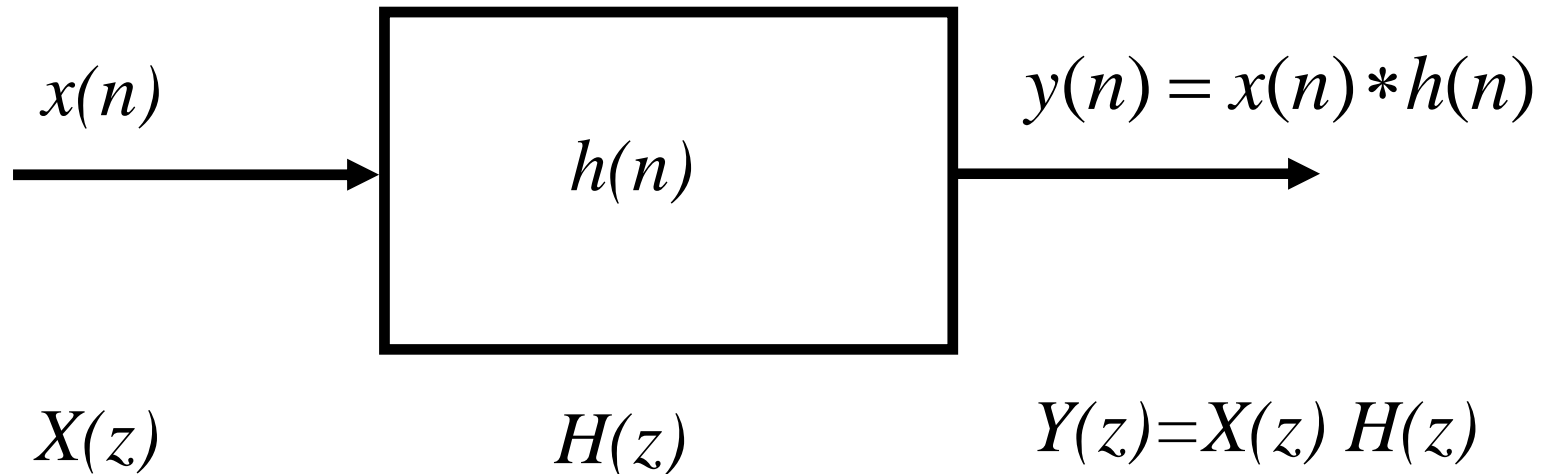


Stima della densità spettrale di potenza
Metodo di Welch (periodogramma)

Sequenza = somma di 3 segnali sinusoidali ($F_1 = 0.08$, $F_2 = 0.25$, $F_3 = 0.41$)
Finestra di Hamming, $N_{FFT} = 1024$

CONVOLUZIONE LINEARE

Convoluzione lineare fra due sequenze (*filtraggio FIR*) effettuata mediante l'impiego della *DFT*.



$h(n)$ di durata N (**FIR**)

$x(n)$ di durata $\gg N$ (**generalmente**)

Due tecniche

- 1. Sovrapposizione e somma
(Overlap and add)**
- 2. Sovrapposizione e selezione
(Overlap and save)**

Prima di descrivere queste due tecniche occorre considerare la convoluzione lineare mediante *DFT* di due sequenze di durata finita (N e L rispettivamente) per due motivi:

- ✓ **quando le durate N e L non sono “*troppo diverse*” essa realizza direttamente la loro convoluzione**
- ✓ **quando la durata del segnale di ingresso è $\gg N$, la convoluzione lineare può essere realizzata con *DFT* di dimensioni opportune.**

■ Convoluzione lineare fra sequenze finite

Durata delle sequenze non troppo lunga

$h(n)$, **durata** N

$x(n)$, **durata** L

$$y(n) = x(n) * h(n), \quad \textbf{durata} \quad M = N + L - 1$$

$$= x_0(n) \otimes h_0(n)$$

Esercitazioni di Laboratorio di MATLAB

(reperibili a: <http://lenst.det.unifi.it/node/379>)

- **Stime spettrali**

$$h_0(n) = \begin{cases} h(n) & 0 \leq n \leq N-1 \\ 0 & N \leq n \leq M-1 \end{cases}$$

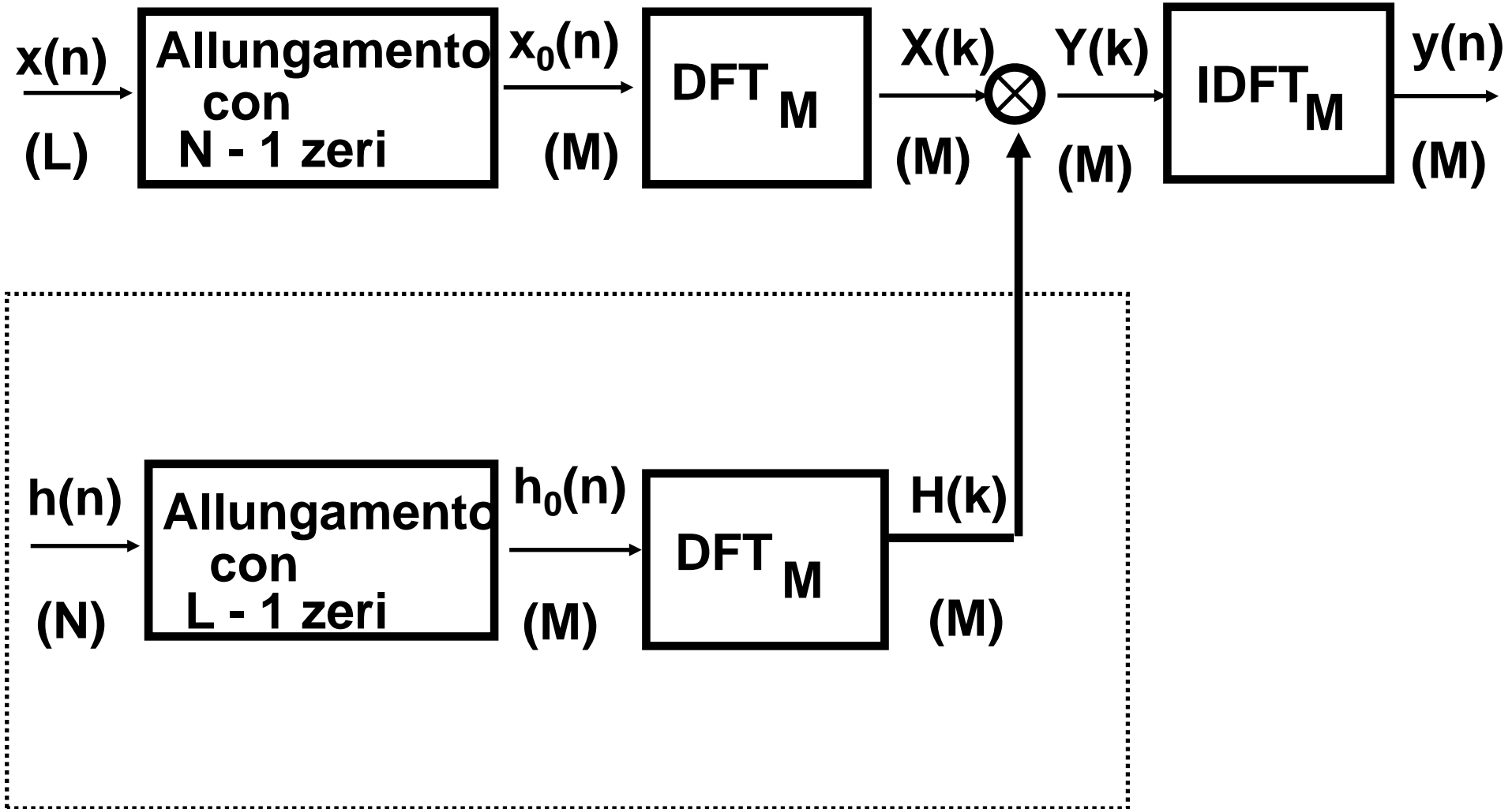
$$x_0(n) = \begin{cases} x(n) & 0 \leq n \leq L-1 \\ 0 & L \leq n \leq M-1 \end{cases}$$

sequenze allungate con valori nulli (zeri)

$$Y(k) = X(k) H(k) \quad \text{DFT a } M \text{ punti}$$

La *DFT* dell'uscita è il prodotto delle *DFT* delle due sequenze di partenza allungate con valori nulli.

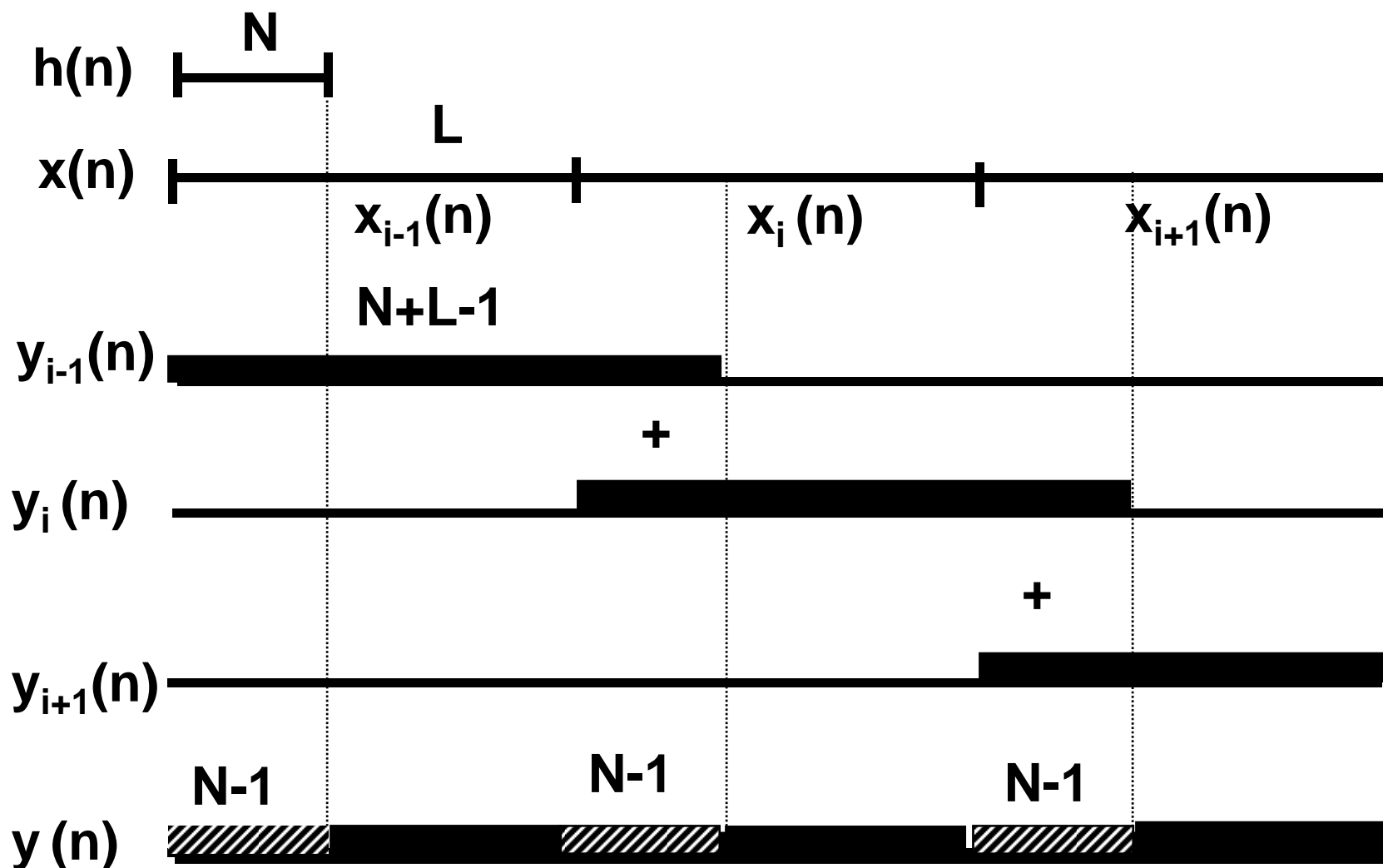
■ Schema realizzativo



■ Osservazione

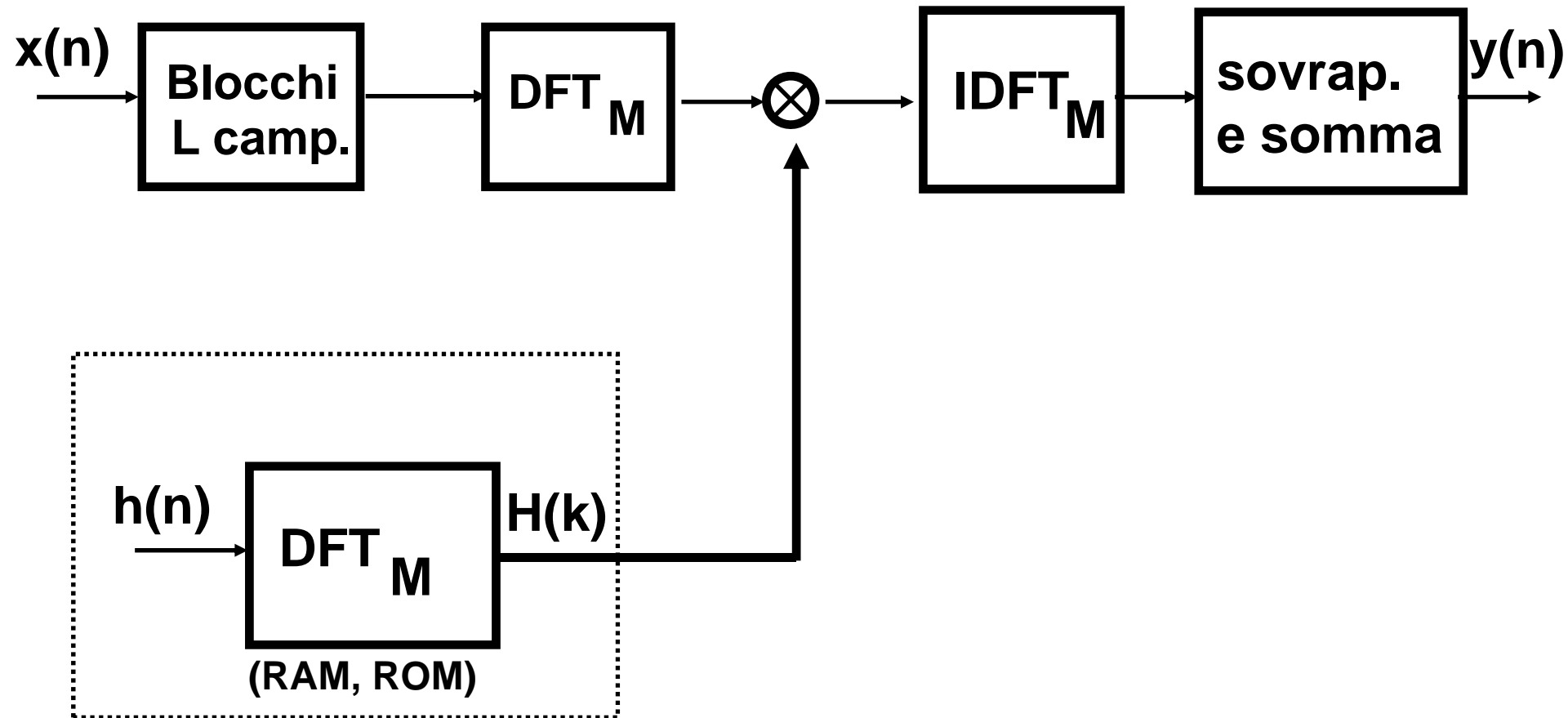
La parte dello schema racchiusa nel rettangolo tratteggiato può essere calcolata una sola volta se la stessa $h(n)$ è usata per filtrare successivamente sequenze diverse aventi durata $\leq L$.

■ Sovrapposizione e somma (Overlap and add)



$$y(n) = \sum_i x_i(n) * h(n) = \sum_i y_i(n)$$

■ Schema realizzativo



Scelta di M : $M \geq N + L - 1$

■ Osservazione

- **Per semplicità nello schema l'operazione di allungamento con zeri è inclusa nel blocco DFT**
- **La parte racchiusa nel rettangolo tratteggiato può essere calcolata una sola volta.**

Overlap-add

Complessità realizzativa

$$M \log_2 M + M$$

m.c.

$$\frac{M \log_2 M + M}{L}$$

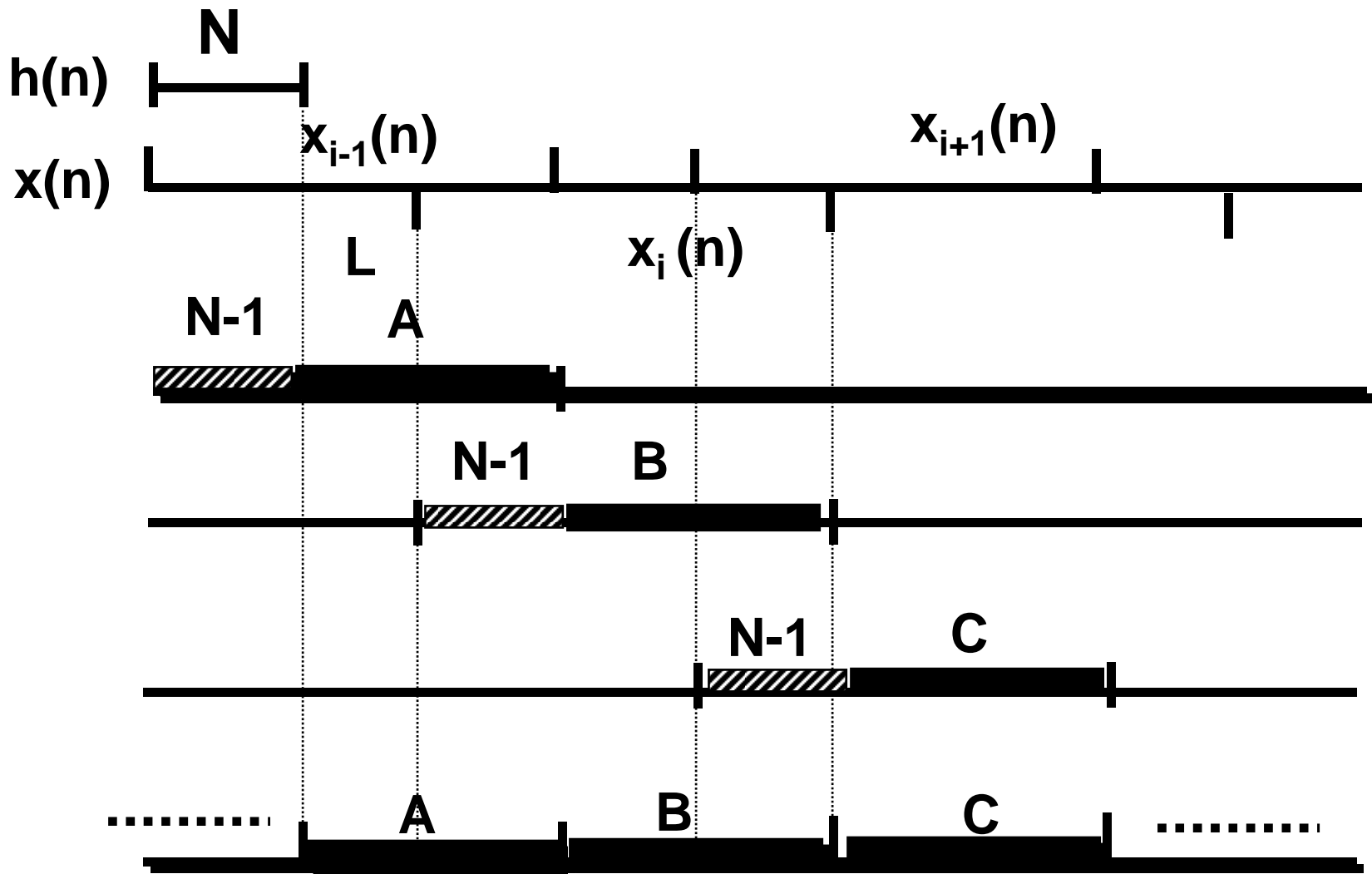
m.c./campione

**da confrontare con N (m.r. o m.c.)
nel caso di realizzazione diretta
della convoluzione discreta**

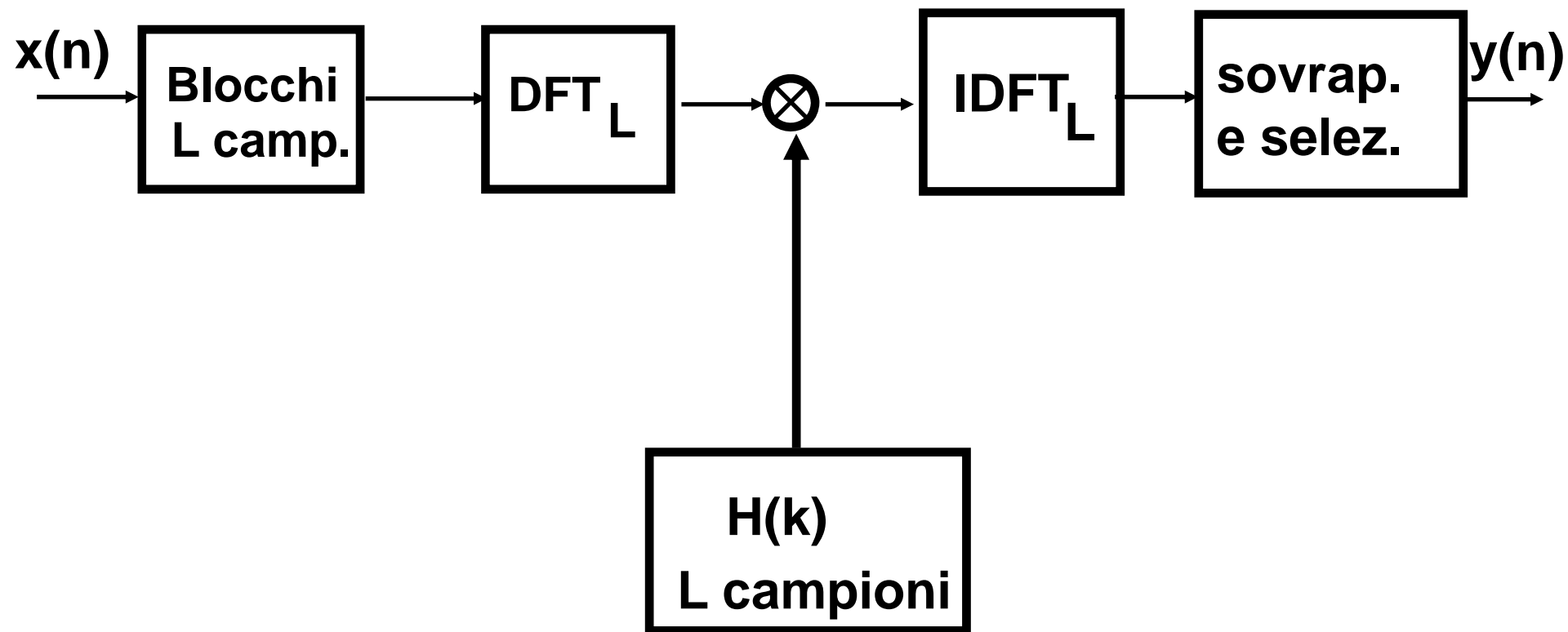
■ Sovrapposizione e selezione (Overlap and save)

Osservazione:

nella convoluzione circolare ad L punti di una sequenza di N campioni con una di L ($> N$) campioni i primi $N-1$ campioni sono diversi mentre i successivi $L-N+1$ sono identici a quelli della convoluzione lineare fra le stesse sequenze



■ Schema realizzativo



Overlap-save Complessità realizzativa

$$L \log_2 L + L \quad \text{m.c.}$$

$$\frac{L \log_2 L + L}{L-N+1} \quad \text{m.c./campione}$$

**da confrontare con N (m.r. o m.c.)
nel caso di realizzazione diretta della
convoluzione discreta**

CORRELAZIONE

**Data $h(n)$ di durata N e $x(n)$ di durata $> N$
la loro correlazione (lineare) è data**

$$v(n) = \sum_{m=0}^{N-1} h(m) x(n+m) = x(n) * h(-n)$$

Si possono applicare tutte le tecniche precedenti (sequenze entrambe finite, sovrapposizione e somma, sovrapposizione e selezione):

- usando $h(-n)$ al posto di $h(n)$, ovvero
usando $H(P - k)$ al posto di $H(k)$
(con P dimensione della *DFT* usata)**

■ Convoluzione e correlazione veloce

Si chiamano così quando si impiega un algoritmo *FFT* per il calcolo della *DFT* negli schemi precedenti.

Altre applicazioni della FFT

- **Modem OFDM** (Orthogonal Frequency Division Multiplexing)
 - TV digitale terrestre (DVB-T)
 - TV sui cellulari (DVB-H)
 - DVB satellitare e mobile (DVB-SH)
 - WiMAX (rete wireless geografica a larga banda)
 - LTE (Long Term Evolution): future reti cellulari